CFRP 板と鋼材の複合構造体に生じる温度応力の簡易算定手法

㈱レールテック 正会員 ○松本 健太郎 京橋メンテック㈱ 正会員 並木 宏徳 明星大学 正会員 鈴木 博之 大鉄工業㈱ 正会員 山口 善彰 正会員 鳥山 正吾 京都工芸繊維大学 藤井 善通

1. はじめに

鋼橋に対して軽量の CFRP 板(以下、CFRP 板と称す)を接着し補強する試みは国内外で多数実施されている. しかしながら、接着後に温度変化がある場合には、鋼材はそれに対して伸縮するものの、CFRP 板の多くは温度変 化による伸縮量が極めて小さいため、鋼材と CFRP 板との間に温度応力が発生し、これが接着面の剥離や補強効果 の低減を惹起することが指摘¹⁾されている.温度応力に関しては,著者等²⁾により簡易なモデル化による定量的な 評価が試みているが, 実構造体においてモデル化が有効であるかどうかの検証はされていない.

そこで本研究では、軸方向荷重に対する補強を対象に、CFRP 板を鋼材両面に接着した複合構造試験体を用いて 温度変化実験を行い、簡易なモデルによる計算値と比較を試みたので報告する.

100

2. 実験方法

図-1に複合構造試験体の寸法と形状を 示す. 試験体は幅 50mm, 厚さ 9mm, 長 さ 300mm の鋼材表裏全面に、同幅同長の CFRP 板をエポキシ樹脂で接着した.

CFRP 板には、カボコンと炭素繊維を 3層, 6層,9層(以下, 3PLY, 6PLY, 9PLY と呼 ぶ)と積層数を変えたもの計4種類を用 いた. なお、鋼材にはひずみゲージを貼 付するために, 鋼材軸方向中央を表裏そ れぞれ板厚 1.0mm ずつ削り, この部分に エポキシ樹脂を充填した. エポキシ樹 脂の接着厚は、試験体を削り込んだ箇

断面図(c-c) 側面図 鋼材 CFRP板 CFRP板 4 u m↓ 鋼材\ エポキシ樹脂 エポキシ樹脂 エポキシ樹脂で接着 tc (CFRP板片側厚さ) 平面図(u-u) カボコン: 1.2mm CFRP板(上面) 3PLY : 1.0mm 6PLY : 1.5mm : 2.3mm 側面図 平面図(m-m) ≪A詳細図≫**√**① 鋼材(上面) **8**(12) **1** 7(11) 20 **(5(9) (10)** 凡例 平面図(1-1) ■:単軸ゲージ CFRP板(下面) (ゲージ長10mm) 「△:軸方向貼付 ▲:幅方向貼付

300

100

図-1 複合構造試験体の寸法と形状およびひずみゲージ貼付位置

所では 1.0mm, それ以外の箇所では 0.13 ~ 0.30mm である.

写真-1に、試験体の鋼材箇所のひずみゲージ貼付状況を示す. 実験に用いたひずみゲージは、温度補償タイプ (熱線膨張係 11.7 μ \mathcal{C}) でゲージ長 10mm の単軸ひずみを使用した. 温度変化実験では、 試験体を高温槽および冷凍庫の容器に入れ、容器内を室温~50℃~ 室温~-20℃~室温と温度を変化させ、その時のひずみを測定した.

表-1 に、試験体材料の弾性係数を示す。CFRP 板の弾性係数は製



100

写真-1 鋼材のひずみゲージ貼付状況 表-1 材料の弾性係数 (GPa)

鋼材	CFRP 板					
	カボコン	3PLY	6PLY	9PLY		
206	152	103	114	112		

作会社の公表値である. 4種類の CFRP 板はいずれも炭素繊維が軸方向に配向されており、それらの幅方向の弾性 係数は鋼と比べて極めて小さい、ゆえに、補強による拘束効果は軸方向のみと見なすことができる。

3. 実験結果

各材料の線膨張係数 3. 1

試験体のひずみ測定に先立ち、まず温度変化時の各材料のひず

表-2 使用材料の線膨張係数 (μ/°C) カボコン 鋼材 9PLY 軸方向(繊維方向) 12.3 2.04 1.17 |幅方向(繊維直角方向) 12.7 32.2 40.0

みを測定し線膨張係数を求めた.表-2に、各材料の線膨張係数算出結果を示す.9PLYに関しては、繊維方向の

キーワード CFRP補強,複合構造体,温度応力,温度変化実験,計算モデル

連絡先 〒532-0011 大阪市淀川区西中島 5-4-20 中央ビル 3F ㈱レールテック構造物事業部 TEL06-6889-2902 線膨張係数は鋼材の軸方向の約 9.5% (=1.17/12.3) となっている. 繊維直角方向は繊維方向に比べて高く, エポキシ樹脂の線膨張係数に近い値となっていると考えられる.

3.2 試験体のひずみ変化

図-2 に 3PLY 試験体の温度とひずみ変化の関係を示し、 表-3 に全試験体の 70℃の温度変化時 (-20℃~50℃) の ひずみ実測値を示す.

図-2 において、3PLY 試験体では温度履歴の始めと終わりの室温状態時のひずみが同一値にならずズレが生じている。他試験体でも同様であり、これは計測機のドリフト等の実験誤差や接着部分のせん断変形などと推測される。このズレは大きな値ではないことから、この実測値の-20℃から 50℃のひずみ差を 70℃の温度変化により発生したひずみと定義した。

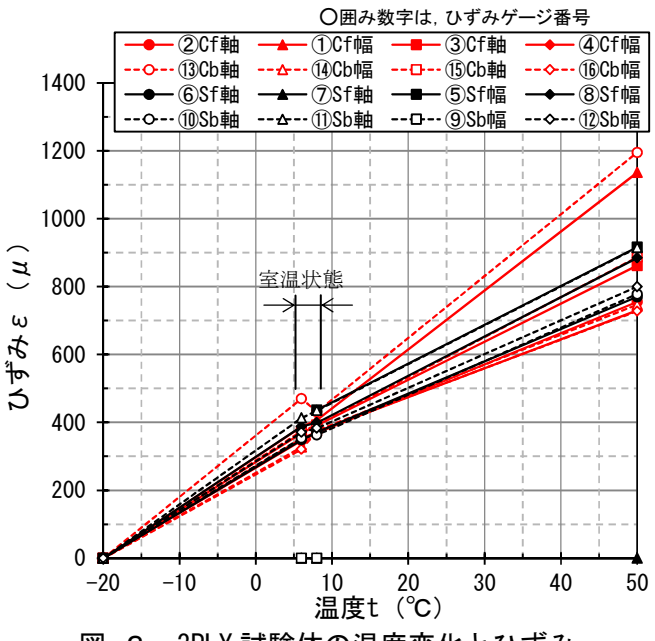


図-2 3PLY 試験体の温度変化とひずみ

3. 4 計算モデルの有効性

ここでは、CFRP 板を鋼材に接着した軸方向補強の計算モデルを考える。図-3 に、計算モデルを示す。計算モデルでは、鋼材と CFRP 板が接着面により完全に結合され、両板の厚さおよび幅方向のひずみが一定と仮定する。

このモデルが温度変化を受けた場合のひずみと鋼材に発生する温度応力を次式に示す.

CFRP 板補強前の鋼材の温度変化によるひずみが $\varepsilon_1 = \alpha T$ の時,

$$\lambda = \frac{E_c A_c}{E_s A_s}$$
 と置くと,複合構造体のひずみは $\boldsymbol{\varepsilon}_2 = \frac{\boldsymbol{\varepsilon}_1}{1+\lambda}$,鋼材の温度応力は $\boldsymbol{\sigma}_{\mathrm{T}} = \frac{\lambda}{1+\lambda} E_s \boldsymbol{\varepsilon}_1$ となる.

T: 鋼材の温度変化量, α : 鋼材の線膨張係数, $E_{c}A_{c}$: CFRP 板の弾性係数と断面積, $E_{s}A_{s}$: 鋼材の弾性係数と弾性断面積

表-3 に、70[°]C温度変化した時の複合構造体のひずみ ε_2 の計算値を示す.実測値と計算値はほぼ一致し、上式で仮定した計算モデルがほぼ成立していると示される.詳細に見ると、実測値は 6PLY 試験体以外では CFRP 板が鋼材よりもやや小さい値である.また、CFRP 板の断面積が大きくなると、複合構造体のひずみ変化が小さくなる傾向がある.

表-3 に、参考として鋼材に生じる温度応力の計算値も記載する。 70° 0の温度変化により 9PLY 試験体のように大きな温度応力が生じることは、補強効果を評価する際に留意すべきである。

鋼材: Es, As
温度・上昇
E1

E2

GT>0

CFRP: Ec, Ac

 $-\sigma_{T} A_{S} + \varepsilon_{2} E_{C} A_{C} = 0$ $(\varepsilon_{1} - \varepsilon_{2}) E_{S} = \sigma_{T}$

図-3 計算モデル

表-3 各試験体の実測値および理論計

試験体	CFRP 板	2	実測値ε (μ)		計算値 ε ₂ (μ)	実測値/計算値(%)		鋼材温度応力
印、例实了中	厚(mm)	λ	CFRP	鋼材	(複合構造体)	CFRP	鋼材	σ (MPa)
3PLY	1.0	0.143	751	808	778	96.5	103.9	22.9
カボコン	1.2	0.186	725	810	749	96.7	108.1	28.8
6PLY	1.5	0.237	804	740	719	111.8	103.0	35.1
9PLY	2.3	0.357	681	757	655	104.0	115.5	48.2

4 おわりに

本研究で得られた主な結論は以下のとおり.

- (1) 鋼材を CFRP 板で補強した際の温度応力を簡易なモデルを仮定し計算した結果と、実際の複合構造体を -20℃から 50℃まで変化させた際のひずみ変化と比較すると、両者が良い一致を示すことを明らかにした.
- (2) CFRP 板の断面積が増加すると、温度変化による複合構造体のひずみ変化量が減少する傾向がある.

参考文献: 1) ICE design and practice guide, "FRP composites – life extension and strengthening of metallic structures", Thomas telford, 2001

2) 並木宏徳他, CFRP 補強された引張り鋼部材の温度変化の影響,第65回年土木学会年次学術講演会,I-431,2010.